

KUSEYR PLATOSU'NUN İKLİM ÖZELLİKLERİ

Yrd. Doç. Dr. Hüseyin KORKMAZ

Mustafa Kemal Üniversitesi Fen Edebiyat Fakültesi Coğrafya Bölümü

Gökhan FAKI

Mustafa Kemal Üniversitesi Sosyal Bilimler Enstitüsü Coğrafya Anabilim Dalı

Özet

Bu çalışmada, Türkiye'nin en güneyindeki Hatay ili sınırları içerisinde bulunan Kuseyr Platosu'nun iklim özelliklerinin ortaya konulması amaçlanmıştır. Platonun daha çok karstik alanlardan oluşması, platoda su sıkıntısına yol açmaktadır. Bu durumun nüfus, yerleşme ve ekonomik faaliyetleri yakından ilgilendirmesi platonun iklim özelliklerini önemli klmaktadır.

Plato ve çevresinin iklim özellikleri Yayladağı, Altınözü, Samandağ ve Antakya meteoroloji istasyonu verilerine göre değerlendirilmiştir. Ayrıca Erinc, De Martonne, Thornthwaite yöntemleri kullanılarak, plato ve çevresinin yağış etkinliği ve iklim tipi belirlenmeye çalışılmıştır.

Plato ve çevresinde yıllık sıcaklık ortalamalarının 15,1-18,9 °C arasında, yıllık ortalama toplam yağış miktarlarının ise 776,9-1.120,3 mm arasında değiştiği görülür. Aynı zamanda ortalama aylık sıcaklıkların ocaktan temmuz ve ağustosa kadar düzenli bir şekilde arttığı, bu aylardan sonra yine düzenli olarak ocak ayına kadar azaldığı dikkat çekmektedir. Aylık ortalama toplam yağış miktarları ise kış aylarında en yüksek, yaz aylarında en düşük değerlere ulaşır. Buna göre plato ve çevresinde yazları sıcak ve kurak, kışları ılık ve yağışlı Akdeniz iklimi hâkimdir.

Anahtar kelimeler: Kuseyr Platosu, Asi Nehri, iklim tipi, yağış etkinliği.

THE CLIMATIC FEATURES OF THE KUSEYR PLATEAU

Abstract

In this study we aimed to determine the climatic properties of Kuseyr Plateau in Hatay which is in the southeast part of Turkey. The plateau consistency of karstic areas makes a water problem. This situation which effects populational, allocational and economical activities makes the plateau's climatic properties very important..

The climatic data of the meteorology stations of Yayladağı, Altınözü, Samandağ, and Antakya were used to determine the climatic features of the plateau. In addition, the methods of Erinc, De Martonne, and Thornthwaite were used to determine the rain efficiency and climate type.

It was observed that the yearly average temperature changes between 15,1 and 18,9 °C while the yearly average total rain varies from 776,9 to 1.120,3 mm. Also, the average monthly temperature goes up regularly from January to July and August and it goes down regularly until August to January. The rain is abundant in the winter and scarce in the summer. According to the study results, the plateau has the Mediterranean climate which is hot and dry in the summer and warm and rainy in the winter.

Key words: Kuseyr Plateau, Asi River, climate type, rain efficiency.

GİRİŞ

Ülkemizin birçok yöresi hakkında ayrıntılı iklim çalışmaları mevcut iken bazı yöreler hakkında ya genel bilgileri içeren eserler bulunur, ya da herhangi bir bilgiye rastlanılmaz. Bilgi yokluğu ya da eksikliğinin olduğu bu yerler daha çok sınır bölgeleri ile gelişmiş merkezlerin uzağında bulunurlar. Bu alanlardan biri de Doğu Akdeniz havzasında, Türkiye'nin en güney sınır sahasını oluşturan Kuseyr Platosu'dur. Plato alanı, ülkemizin en güneyindeki Hatay ili sınırları içerisinde yer alır. Asi Nehri ile Suriye sınırı arasında genel doğrultusu güneybatı-kuzeydoğu olan, doğu-batı yönünde 35 km genişliğe; güneybatı-kuzeydoğu yönünde 53 km uzunluğa sahip 1.017 km²'lik alan, bu çalışmada *Kuseyr Platosu** olarak adlandırılmıştır (Şekil 1).

Plato alanı 35° 48'-36° 16' kuzey (N) enlemleri ile 35° 55'-36° 24' doğu (E) boylamları arasında yer alır. Kuzeyi Amik Ovası, batısı Asi Nehri ve Akdeniz, güneyi ve doğusu ise Suriye tarafından kuşatılmıştır. Plato alanında Yayladağı, Altınözü ilçe merkezleri ile Yeditepe, Karaköse, Şenköy, Harbiye, Karbeyaz, Kışlak beldeleri en önemli yerleşim birimlerini oluşturur

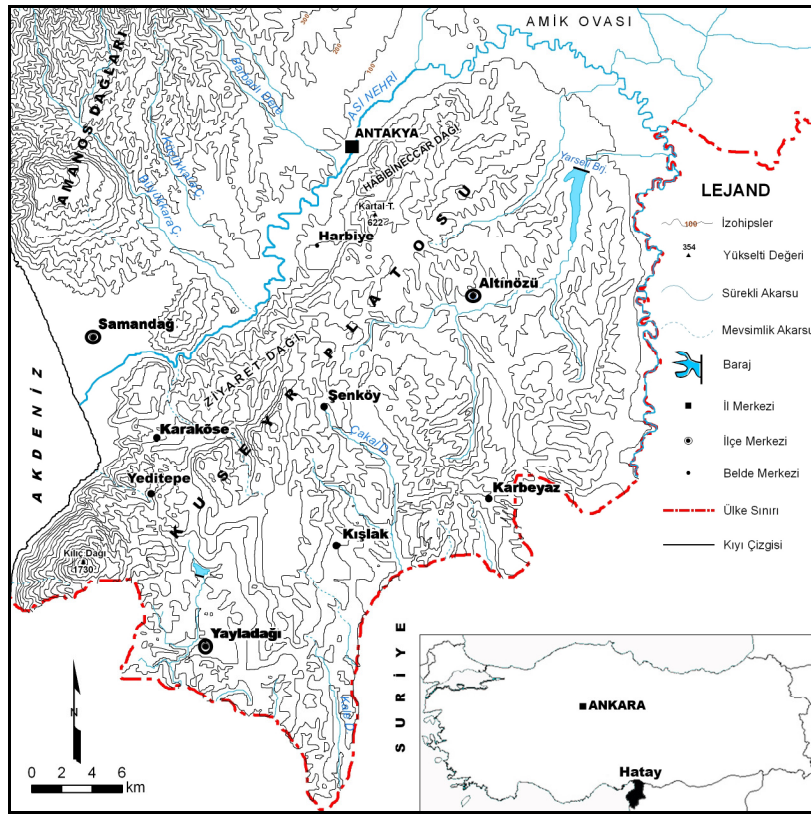
Kuseyr Platosu doğuda Ölü Deniz Fayı'nın Gharb segmenti, batıda ise Karasu Segmenti tarafından sınırlandırılmıştır (Korkmaz, 2006: 49). Gharp segmenti doğuda, içinde Asi Nehri'nin de yer aldığı 8-13 km genişliğinde ve yükseltisi 100-250 m arasında değişen bir graben alanı (Asi Oluğu) oluşturur. Batıda ise Karasu Segmentinin oluşturduğu 10-20 km genişliğinde ve 0-80 m yükseltisindeki Samandağ-Antakya graben alanı yer alır (Erol, 1963: 9). Asi Nehri bu graben alanını takip ederek Akdeniz'e ulaşır. Bu açıdan Kuseyr Platosu bir horst özelliği gösterir (Ateş ve diğerleri, 2004: 59). Belirtilen horst alanının Asi Nehri ve kolları tarafından parçalanması sonucunda plato bugünkü şeklini almıştır. Yükseltisi 150-1.000 m arasında değişen plato yüzeyinde yer yer tektono-karstik çöküntü alanları ve tepeler bulunur.

Akdeniz kıyısında birden bire yükselen Kılıç Dağı (Keldağ 1.730 m), Samandağ-Antakya grabeninin doğusundaki Ziyaret Dağı (1.235) ve

* Altınözü, VII. Yüzyılda Müslüman Arapların egemenliğine girdikten sonra buraya kale tipi şato anlamına gelen "Kasr" denilmeye başlanmıştır. Bu ad daha sonra yöre halkının dilinde Kuseyr'e dönüşmüştür (Yurt Ansiklopedisi, 1982: 3411). Ayrıca burada 1805'te, "Kuseyr" adıyla (bugünkü Altınözü) bir nahiyeye kurulmuştur. (Tekin, 1997: 13). Antakya köylerinin bir kısmı ile Yayladağı (Ordu)-Asi Nehri arasındaki köyler bu nahiyeye bağlanmıştır (Canbolat, 2006: 86). Ayrıca Alagöz (1944: 215) tarafından plato "Kuseyr" olarak isimlendirilmiştir. Günümüzde platonun bulunduğu bölge halk tarafından bu isimle anıldığı için tarafımızdan da "Kuseyr Platosu" olarak adlandırılmıştır.

Habibineccar Dağı (622 m) plato çevresindeki en önemli yükseltileri oluşturur. Bununla beraber plato yüzeyinde çok kısa mesafede yükseltinin değiştiği görülür. Örneğin Kılıç Dağı'nın kuş uçuşu 9 km doğusunda 350-500 m yükseltisinde Yayladağı tektonik havzası yer alır. Havzanın hemen kuzeyinde yükselti 1.000 m' ye çıkar. Platoda batıdan doğuya ve güneyden kuzeye gidildikçe genelde yükselti azalır. Kuzeyde yükselti 150 m' ye kadar düşer (Şekil 1).

Şekil 1: Kuseyr Platosu'nun konumu ve topografya haritası



Platoda ekonomik faaliyetler tarım ve hayvancılığa dayalıdır. Tarımsal faaliyetler daha çok tektonik çöküntü alanları, tektono-karstik oluşumlar (ovalar), ve küçük boyutlu birikinti konilerinde gerçekleştirilir. Platodaki makilik alanlarda ise küçükbaş hayvancılık yapılmaktadır. Kuseyr Platosu'nun büyük bir bölümünde karstik nedenlerden dolayı su sıkıntısı yaşanmaktadır (Türkmen, 1937: 55). Bu yüzden, plato sahasında tütün, buğday, arpa, mercimek ve nohut gibi ürünlerin yetiştirilmesi tercih edilmektedir (Ödemiş ve Bozkurt, 2007: 425).

Platoda su sıkıntısının yaşanması ve bunun sosyo-ekonomik faaliyetleri olumsuz etkilemesi, iklim özelliklerini ön plana çıkarmıştır. Ancak bugüne kadar platonun iklim özelliklerini bütünüyle ortaya koyan herhangi bir çalışma yapılmamıştır. Bu çalışmada Kuseyr Platosu'nun iklim özelliklerinin ortaya konulması amaçlanmıştır.

YÖNTEM VE MALZEME

Bu çalışmada, Kuseyr Platosu'nun iklimini etkileyen temel faktörler belirlenerek platonun iklim özellikleri açıklanacaktır. Bu amaçla öncelikle araştırma sahası ve yakın çevresi ile ilgili literatür taranmıştır. Plato ve çevresinin iklim özellikleri Yayladağı (1978-1989), Altınözü (1986-1993), Antakya (1940-2007) ve Samandağ (1959-2007) meteoroloji istasyonları verilerine göre değerlendirilmiştir. Ayrıca platoyu doğu ve güneyden sınırlayan Suriye'ye ait sağlıklı meteorolojik veriye ulaşılamamıştır. Bu nedenle platonun iklim özellikleri sadece batıdaki Samandağ ve Antakya meteoroloji istasyonları verileriyle karşılaştırılmıştır. Ayrıca iklim özelliklerini belirlemeye yönelik arazi çalışmaları gerçekleştirilmiştir. Bu çalışmalarda özellikle plato ve çevresinin yeryüzü şekilleri, yükselti ve bakı gibi faktörlerin iklime olan etkileri tespit edilmeye çalışılmıştır.

Elde edilen bulgulara göre önce genetik-dinamik faktörlerin iklime etkileri ortaya konulmuştur. Daha sonra meteorolojik veri ve arazi gözlemleri dikkate alınarak iklim elemanları ayrı ayrı değerlendirilmiştir. Aynı zamanda Erinç, De Martonne ve Thornthwaite metotları uygulanarak platonun iklim tipi ve yağış etkinliği belirlenmiştir. Elde edilen veriler tablo ve şekillerle gösterilerek yorumlanmıştır.

JENETİK-DİNAMİK FAKTÖRLERİN PLATO İKLİMİNE ETKİLERİ

Plato sahasının iklim özelliklerini açıklarken öncelikle iklim elemanları üzerinde etkili olan genetik-dinamik faktörlerin bilinmesi gerekir. Bu nedenle genetik-dinamik faktörlerden iklim olaylarının karşılıklı ilişkilerini düzenleyen planetar faktörler ile iklim özelliklerinde lokal değişikliklere yol açan fiziki coğrafya faktörleri ele alınmalıdır.

Planetar Faktörler

Plato sahası coğrafi konumu itibariyle Türkiye'nin en güneyinde bulunduğundan güneş ışınlarını en büyük açıyla alır. Bu durum güneş radyasyonundan yararlanma üzerinde doğrudan etkili olur. Güneş ışınları, 21 Aralık'ta platonun en kuzeyine en küçük açıyla (30° 17'), 21 Haziran'da ise en güneyine en büyük açıyla (77° 39') gelir. 21 Mart ve 23 Eylül'de ise

güneş ışınlarının plato alanına geliş açısı $53^{\circ} 44' - 54^{\circ} 12'$ arasında değişir. Güneş ışınlarının geliş açısı ve güneşlenme süresi arttıkça sıcaklık da artmaktadır. Plato sahasının güneşlenme süresi ile ilgili rasat yapılmadığından elimizde veri bulunmamaktadır. Ancak fikir vermesi açısından plato çevresindeki Antakya'nın güneşlenme süresi dikkate alındığında uzun yıllar ortalamalarına göre günlük ortalama güneşlenme süresinin 7 saat 24 dakika olduğu görülür. Güneşlenme süresinin en az olduğu ay aralık (2 saat 56 dakika), en çok olduğu ay ise temmuzdur (11 saat 33 dakika). Bu nedenle, yazın güneşlenme süresi ve güneş ışınlarının geliş açısına bağlı olarak sıcaklık fazla; kışın ise sıcaklık daha düşüktür.

Plato sahası Akdeniz bölgesi sınırları içerisinde yer aldığından, Akdeniz bölgesinde etkili olan hava kütleleri ve hareketleri plato sahasının iklim özellikleri üzerinde de etkili olur. Bu iklimin genel karakterini polar ve tropikal hava kütlelerinin mevsimlik hareketleri ile bunlar arasındaki polar cephe boyunca oluşan frontal faaliyetlerin şiddeti ve frekansı belirler (Günel, 1995: 70)

Ülkemiz herhangi bir hava kütlelerinin doğu sahasında yer almaz. Kuzeyde Avrasya ve Kuzey Denizi üzerinde oluşan soğuk karakterli polar veya kutbi (P) hava kütlesi ile güneyde tropikal bölgeden kaynaklanan tropikal (T) hava kütlelerinin etkisi altındadır (Atalay, 1997: 118). Bu hava kütlelerinin ülkemizde etkili olduğu yer ve dönemlerde sıcaklık ve yağış özelliklerinde değişimler görülür.

Kış mevsiminde polar hava kütlelerinin alanı genişler. Bu dönemde Sibirya kökenli kontinental polar (cP) hava kütlesi ile Baltık ve Atlantik kaynaklı maritim polar (mP) hava kütleleri Türkiye'de etkili olmaktadır. Bu hava kütleleri güneyden gelen ve daha sıcak olan tropikal (mT veya cT) hava kütleleriyle Akdeniz Bölgesi'nde karşılaşarak cephe oluştururlar (Koçman, 1993: 2). Bu cephe boyunca frontal yağışlar oluşur. Buna bağlı olarak plato alanı kışın bol yağış alır. Ayrıca Akdeniz üzerinden geçerken nem kazanan kontinental tropikal hava kütlesi Asi Vadisi boyunca ilerler. Bu nemli hava kütlesi plato sahasına doğru yükseldikçe yağış bırakır.

İlkbahardan itibaren polar hava kütleleri ve bunlara bağlı oluşan cephe hareketleri yavaş yavaş kuzeye doğru çekilerek etkisini kaybederken, Türkiye'de tropikal hava kütleleri etkili olmaya başlar. Bu geçiş döneminde, plato ve çevresinde konveksiyonel yağışlar ile orajlar görülür.

Yazın Asor Yüksek Basıncı ve Basra Alçak Basıncı'nın etki alanlarının genişlemesi sonucunda Akdeniz havzasında denizel tropikal (mT) ve karasal tropikal (cT) hava kütleleri etkili olur. Kuseyr Platosu yaz mevsiminde büyük ölçüde kontinental tropikal (cT) karakterli Basra Alçak

Basıncı'nın etkisi altındadır. Bu nedenle yaz ayları sıcak ve kuru geçer. Akdeniz üzerinden geçen kontinental tropikal (cT) karakterli hava kütleleri, kısmen nem kazansalar da plato sahasına geldiklerinde sıcak karasal ortam nedeniyle doyma noktasından uzaklaştıkları için genelde yağış bırakmazlar. Bu nedenle plato alanında yazlar sıcak ve kurak geçer.

Sonbahar başlarından itibaren polar hava kütlesi etki alanını genişleterek yavaş yavaş kuzeyden ülkemize doğru sokulur. Polar hava kütleleri daha çok sonbaharın ikinci yarısında Akdeniz havzasındaki tropikal hava kütleleriyle karşılaşarak cephe oluşturur. Bu nedenle plato ve çevresinde özellikle ekim ayından itibaren tekrar yağışlı döneme geçilir.

Fiziki Coğrafya Faktörleri

Yeryüzü şekilleri, yükselti, bakı ve denizellik-karasallık gibi faktörler bir yerin iklim özelliklerini etkiler. Kuseyr Platosunun yükseltisi 150-1.000 m arasında değişmekle birlikte, plato çevresinde yükseltinin 1.235-1.730 m'ye ulaştığı münferit dağlar bulunur. Ayrıca daha önce de ifade edildiği gibi kısa mesafeler içinde büyük yükselti farklılıkları dikkat çeker. Bu durum iklim elemanlarında kısa mesafede değişimlere yol açar. Plato alanı denize yakın olmakla birlikte Keldağ (1.730 m) ve Ziyaret Dağı (1.235 m) gibi yükseltilerin güney ve batı cephelerine göre platonun doğu ve kuzeydoğusunda denizel etki azalır. Denizden gelen nemli havanın yaz ve bahar mevsimlerinde platonun batısındaki yükseltileri aşarken soğuması, kışın ise sıcak ve nemli olan denizel havanın, soğuk olan plato yüzeyi ile temas etmesi sis oluşumlarına neden olmaktadır. Yağışın olmadığı dönemlerde bitkiler, su ihtiyaçlarını sis oluşumlarından karşıladıkları için platonun batısında bitki örtüsü daha güldür.

Suriye çöllerindeki sıcak ve kuru hava kütleleri, yazın Asi oluğu ile platoda nispeten yükseltinin düşük olduğu alanlardan geçerek platonun doğu ve güneydoğusunda etkili olur. Bu nedenle platonun doğusunda yaz sıcaklıkları daha yüksektir.

Plato alanında yeryüzü şekilleri ve bunların uzanış yönleri rüzgâr özellikleri üzerinde de etkili olmaktadır. Batıdaki güneybatı-kuzeydoğu uzanışlı Samandağ-Antakya grabeni, platoda SW-NE yönlü rüzgârların etkili olmasına neden olmaktadır.

Plato ve çevresinde karasallık derecesi düşüktür. Conrad formülüne göre Yayladağı %27,2 karasal, %72,8 okyanusal, Altınözü %36,7 karasal, %63,3 okyanusal, Antakya %31,9 karasal, % 68,1 okyanusal ve Samandağ %28,7 karasal, %71,3 okyanusal özellik gösterir.

İKLİM ELEMANLARI

Sıcaklık

Kuseyr Platosunda yıllık ortalama sıcaklıklar 16,7 °C (Altınözü) ile 15,1 °C (Yayladağı) arasında değişmektedir (Tablo 1).

Tablo 1: Kuseyr Platosu ve çevresinin ortalama, ortalama maksimum ve ortalama minimum sıcaklık değerleri (°C).

İst. Ve Rak.	Veri Adı	R.S	O	Ş	M	N	M	H	T	A	E	E	K	A	Yıl. Ort.
Yayladağı (450 m)	Ort.	11	6,7	7,4	9,4	13,2	17,7	21,4	24,0	23,9	21,5	17,1	11,2	7,5	15,1
	Ort. Mak.	10	11,9	13,1	16,0	21,3	27,0	30,5	32,7	32,3	31,4	27,0	19,7	13,6	23,0
	En Yük.	10	18,5	21,0	26,5	30,8	37,0	41,5	44,5	42,2	40,0	37,2	32,0	24,0	44,5 (1978)
	Ort. Min	10	2,8	3,1	4,8	7,5	10,9	14,0	16,5	17,0	14,1	10,4	6,0	3,2	9,2
	En Düş.	10	-8,2	-7,4	-7,0	0,0	4,0	5,0	10,0	10,0	6,5	1,8	-5,5	-10	-10 (1982)
	Ort.	7	5,8	6,7	11,0	16,1	20,2	23,8	26,2	27,3	25,0	19,4	11,8	7,4	16,7
Altınözü (350 m)	Ort. Mak.	7	11,2	12,4	17,6	24,4	27,9	30,5	32,8	33,5	32,8	27,1	19,3	12,4	23,5
	En Yük.	7	18,2	22,6	27,4	36,2	40,1	40,6	39,8	42,3	40,1	37,4	30,1	23,6	42,3 (1987)
	Ort. Min	7	1,1	1,2	4,7	8,3	12,1	16,8	19,7	20,4	16,7	12,1	6,0	2,9	10,2
	En Düş.	7	-8,3	-7,2	-2,8	0,4	2,6	10,1	8,0	14,4	3,6	7,1	-4,4	-5,2	-8,3 (1989)
	Ort.	48	9,5	10,9	14,2	17,6	20,9	24,5	26,8	27,6	25,9	21,6	15,9	11,1	18,9
	Ort. Mak.	48	11,9	14,2	17,8	22,4	26,3	29,0	30,9	31,7	30,9	27,2	20,1	13,6	23,0
Samandağ (4 m)	En Yük.	48	21,6	23,5	29,4	36,2	40,0	39,8	36,5	40,4	41,0	37,2	30,0	22,6	41,0 (1994)
	Ort. Min	48	4,6	5,5	8,2	12,0	16,1	20,6	23,7	24,3	20,9	14,9	9,4	5,9	13,8
	En Düş.	48	-2,2	-2,0	-1,6	2,0	7,5	13,8	17,4	17,0	13,0	6,8	0,0	-1,4	-2,2 (1989)
	Ort.	67	8,1	9,8	12,9	17,1	21,1	24,7	27,0	27,6	25,5	20,6	14,1	9,6	18,2
	Ort. Mak.	67	13,0	15,1	18,3	21,9	24,8	27,4	29,6	30,5	29,8	26,9	20,6	15,1	22,8
	En Yük.	67	20,2	25,0	30,5	37,5	42,5	41,5	43,4	43,9	42,6	39,2	32,4	22,6	43,9 (1962)
Antakya (100 m)	Ort. Min	67	6,3	7,2	10,1	13,6	17,1	21,6	24,6	25,5	22,8	17,4	12,0	8,1	15,5
	En Düş.	67	-14,6	-6,8	-4,2	1,5	7,7	11,6	15,9	15,4	7,9	2,3	-3,0	-6,6	-14,6 (1950)

Kaynak: Devlet Meteoroloji İşleri Genel Müdürlüğü, 2008.

Platonun en güneyindeki Yayladağı'nda yıllık ortalama sıcaklığın platonun en kuzeyindeki Altınözü'nden daha düşük olması, Yayladağı'nın, doğudaki Suriye çöllerinden gelen sıcak hava kütlelerine Altınözü'ne göre kapalı olmasıyla açıklanabilir. Bu durum yaz ayları sıcaklık ortalamalarında kendini daha belirgin

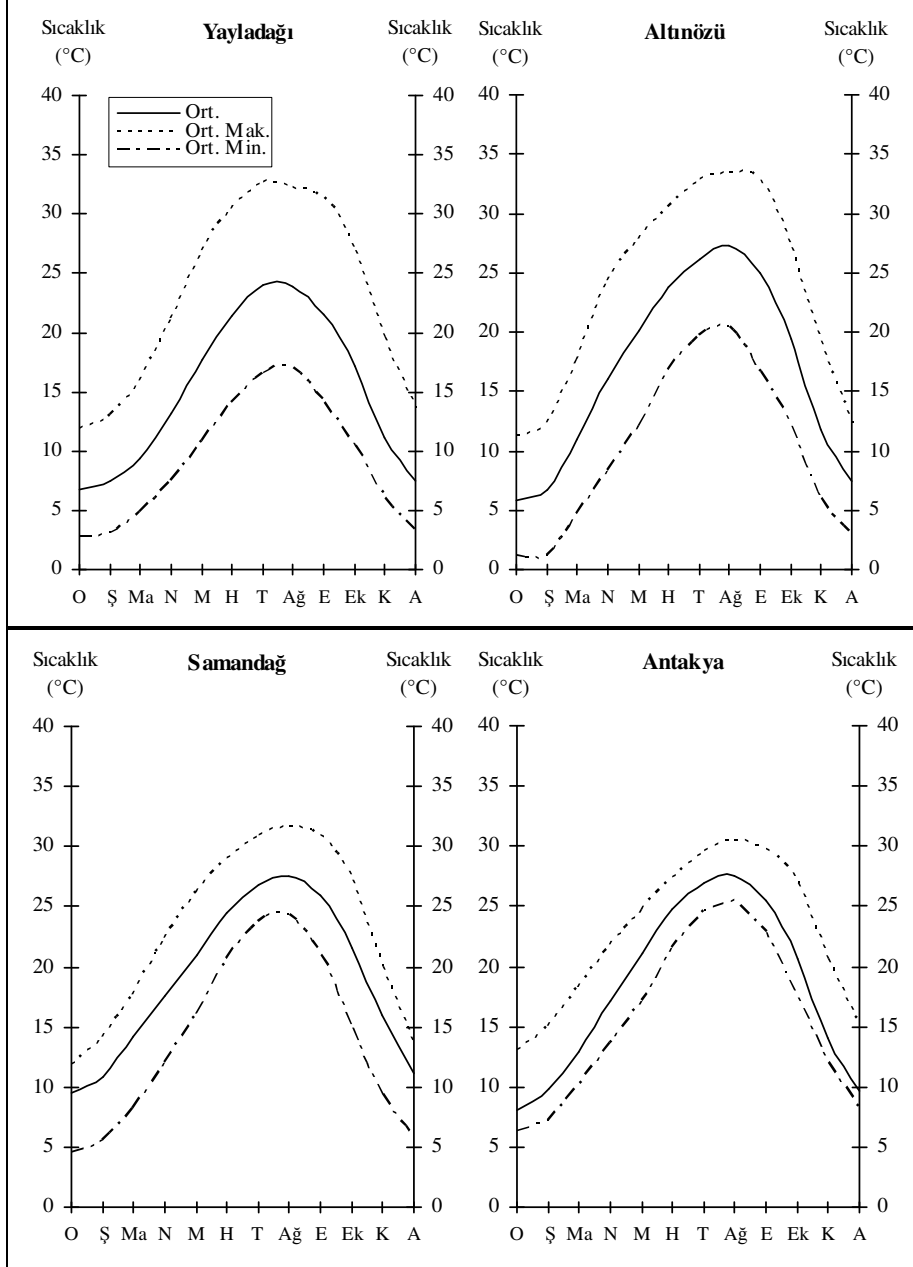
olarak gösterir. Platoda aylık ortalama en yüksek sıcaklıklar, Yayladağı'nda temmuz (24 °C), Altınözü'nde ağustos (27,3 °C), en düşük ise Yayladağı (6,7 °C) ve Altınözü (5,8 °C)'nde ocak ayında ölçülmüştür. Aylık ortalama sıcaklıkların ocaktan temmuz ve ağustosa kadar arttığı bundan sonra ise ocak ayına kadar düştüğü gözlenir (Şekil 2). Kış sıcaklıklarının platonun kuzeyinde güneye göre yükseltinin az olmasına rağmen daha düşük olması karasallıkla açıklanabilir. Yayladağı'nda dört, Altınözü'nde beş ayın sıcaklık ortalaması 20 °C'nin üzerindedir. Yıllık ortalama amplitüd, Yayladağı'nda 17,3 °C, Altınözü'nde ise 21,5 °C'dir. Bütün bunlar platoda yazların sıcak, kışların ise ılık olduğu Akdeniz termik rejiminin hakim olduğunu göstermektedir.

Platoyu batıdan kuşatan Samandağ-Antakya grabeninde ise yıllık ortalama sıcaklıkların daha yüksek olduğu (Samandağ 18,9 °C, Antakya 18,1 °C) görülür (Tablo 1). Benzer durum aylık ortalama sıcaklıklarda da kendini gösterir. Bu durum graben alanının yükseltisinin platoya göre az olması ve denizel etkinin graben alanında etkili olmasıyla açıklanabilir. En düşük aylık ortalama sıcaklık Samandağ (9,5 °C) ve Antakya (8,1 °C)'da ocak, en yüksek ise Samandağ (27,6 °C) ve Antakya (27,6 °C)'da ağustostur. Plato çevresinde altı ayın sıcaklık ortalaması 20 °C 'nin üzerinde gerçekleşirken ortalama sıcaklıkların ocaktan ağustosa kadar düzenli bir şekilde arttığı; ağustostan ocak ayına kadar ise tekrar düzenli olarak azaldığı gözlenir (Şekil 2). Yıllık ortalama amplitüd ise Samandağ'da 18,1 °C, Antakya'da 19,5 °C'dir. Bu özellikler plato çevresinde de Akdeniz termik rejiminin etkili olduğunu ortaya koymaktadır.

Platoda ve çevresinde maksimum sıcaklıkların yıllık ortalamaları, 22,8-23,5 °C arasında değişmekte olup plato ve çevresinin değerleri arasında dikkate alınacak bir fark (0,2-0,7 °C) yoktur (Tablo 1). Maksimum ortalama sıcaklıkların, aylık ortalama sıcaklıklarda olduğu gibi ocaktan temmuz ve ağustosa kadar arttığı, bundan sonra ise ocak ayına kadar düştüğü görülür (Şekil 2). Kış aylarında maksimum ortalamaların 11,2-15,1 °C arasında yüksek değerler göstermesi, kararsız kış hava koşullarında tropikal havanın bölgedeki baskın etkisinden kaynaklanmalıdır. Ortalama maksimum sıcaklıkların, özellikle yaz aylarında yüksek değerlere ulaşması, bölgede mayıs ayından itibaren egemen olan hava koşulları, güneşlenme şiddeti ve süresi ile açıklanabilir. Bununla beraber platonun yaz ayları ortalamaları (30,5-33,5 °C) platonun batısındaki graben alanının yaz ayları ortalamalarından (27,4-31,7 °C) daha yüksektir. Bu durum yazın, platonun Suriye çöllerinden gelen hava kütlelerinden etkilenmesi, batıdaki graben alanının ise denizel hava kütlelerine açık olması ile açıklanabilir.

Yıllık ortalama minimum sıcaklıkların yükselti ve karasallık etkisinden dolayı platoda (Yayladağı 9,2 °C, Altınözü 10,2 °C) batıdaki graben alanına göre (Samandağ 13,8 °C, Antakya 15,5 °C) düşük olduğu görülür (Tablo 1). Bu durum aylık ortalama minimumlarda da kendini gösterir. Plato ve çevresinde ortalama minimum sıcaklıklar hiçbir zaman sıfır derecenin altına düşmez. Kış ayları ortalamaları 1,1-8,1 °C arasında değişmekle birlikte ortalama minimum sıcaklığın en düşük olduğu ay ocak, en yüksek olduğu ay ise ağustostur.

Şekil 2: Kuseyr Platosu ve çevresinde ortalama, ortalama maksimum ve ortalama minimum sıcaklıkların aylara dağılışı.



Minimum ortalama sıcaklıkları, plato ve çevresinde genel olarak mart ayından itibaren belirgin artış gösterir. Ağustosta 17,0-25,5 °C değerlerine ulaşır.

Plato alanında mutlak ekstremler farklı tarihlerde kaydedilmiştir. En yüksek sıcaklık 7 Temmuz 1978 tarihinde Yayladağı'da 44,5 °C, en düşük sıcaklık ise yine Yayladağı'nda 1 Aralık 1982 tarihinde -10 °C olarak ölçülmüştür (Tablo 1).

Plato çevresinde en yüksek sıcaklık, 26 Ağustos 1962 tarihinde Antakya'da 43,9 °C, en düşük sıcaklık ise yine Antakya'da 15 Ocak 1950 tarihinde -14,6 °C olarak ölçülmüştür. Platoda yıllık ortalama don olaylı gün sayısı 17,6 (Yayladağı) - 28,5 (Altınözü) arasında değişmektedir. Don olayı, yılın 5 ayında (kasım-mart arası) görülmektedir. Don olayının en fazla olduğu aylar ocak ve şubattır.

Platonun batısındaki graben alanında yükseltinin az, denizel etkinin daha fazla olması don olaylı gün sayısının platoya göre az olmasına neden olmuştur (Samandağ 1,2, Antakya 7,6 gün). Don olayı Samandağ'da aralık-mart, Antakya'da ise kasım-mart dönemlerinde gerçekleşir.

Basınç ve Rüzgarlar

Kuseyr Platosu coğrafi konumu dolayısıyla yıl içerisinde farklı basınç merkezlerinin etkisi altında kalır. Bu nedenle yıl içerisinde basınç şartları değişiklik gösterir. Plato sahasındaki meteoroloji istasyonlarına ait basınç ölçümü olmadığından bu durum plato yakın çevresindeki Samandağ ve Antakya'ya ait basınç verilerine göre değerlendirilmiştir. Yıllık ortalama basıncın Samandağ'da 1.013 mb, Antakya'da ise 1.001,3 mb olduğu görülür (Tablo 2). Aylık ortalama basınçların ağustostan itibaren yükselmeye başladığı ve bu yükselişin düzenli bir şekilde aralık ayına kadar sürdüğü görülür. Ocak-temmuz döneminde ise düzenli bir azalış söz konusudur (Şekil 3). Ortalama basıncın en düşük olduğu ay, temmuz (Samandağ 1.005,7 mb, Antakya 993,1 mb); en yüksek olduğu ay ise aralıktır (Samandağ 1.018,7 mb, Antakya 1.007,7 mb). Aylık ortalama basınçların nisan-eylül döneminde yıllık ortalamaların altında bunun dışındaki aylarda ise üstünde olduğu görülür. Bütün bunlar plato ve çevresinde ortalama basıncın kış aylarında yüksek; yaz aylarında ise düşük olduğunu gösterir. Plato ve çevresinde yaz aylarında basıncın düşük olmasında Basra Alçak Basıncı etkilidir. Kışın ise bölgede oluşan cephe sistemleri, özellikle polar havanın baskın olması basıncın yükselmesine neden olur.

Kuseyr Platosunun rüzgâr özellikleri incelendiğinde yıl içinde daha çok batı ve güney sektörlü rüzgârlar dikkat çeker. Yayladağı'nda yıllık hâkim rüzgâr yönü 1.180 esme sayısı (%22,7) ile W olup, en az rüzgâr 529 esme sayısı (%8) ile NE'dur. Altınözü'nde ise hâkim rüzgâr yönü 2.569 esme sayısı (%51) ile SW

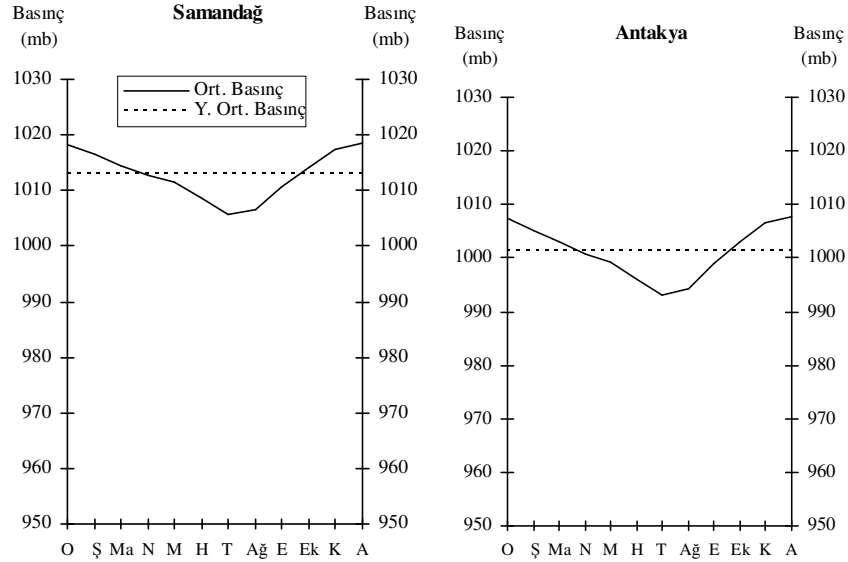
olup yıl içinde en az rüzgâr 40 esme sayısı (%0,8) ile S'dir. (Tablo 3). Yayladağı'nda W yönlü rüzgârların hâkim olmasında Yayladağı'nın hemen batısında nispi yükseltinin 1.280 m olduğu Kılıç Dağı'nın bulunması ve Yayladağı'nın çevresine göre alçakta (çukurda) yer alması etkili olmalıdır. Yılın büyük bir bölümünde Kılıç Dağı'nın batısındaki Akdeniz'den gelen hava akımları bu dağı aşmak için yükselmekte ve yükseldikçe de soğumaktadır. Böylece Kılıç Dağı'nın yükseklerinde soğumaya bağlı yüksek basınç alanı oluşurken 450 m yüksekliğindeki Yayladağı daha sıcak olduğundan alçak basınç alanı özelliği gösterir. Bu nedenle Kılıç Dağı'ndan Yayladağı'na doğru batı yönlü rüzgârlar eser.

Tablo 2: Samandağ ve Antakya meteoroloji istasyonlarına ait ortalama aylık ve yıllık basınç.

İstas. Adı	O	Ş	Ma	N	M	H	T	Ağ	E	Ek	K	A	Yıl. Ort..
Samandağ	1018,3	1016,5	1014,6	1012,6	1011,6	1008,7	1005,7	1006,7	1010,7	1014,2	1017,3	1018,7	1013,0
Antakya	1007,5	1005,2	1003,0	1000,7	999,3	996,1	993,1	994,3	998,8	1003,1	1006,7	1007,7	1001,3

Kaynak: Devlet Meteoroloji İşleri Genel Müdürlüğü, 2008

Şekil 3: Samandağ ve Antakya meteoroloji istasyonlarına ait aylık ve yıllık ortalama basınç dağılışı.



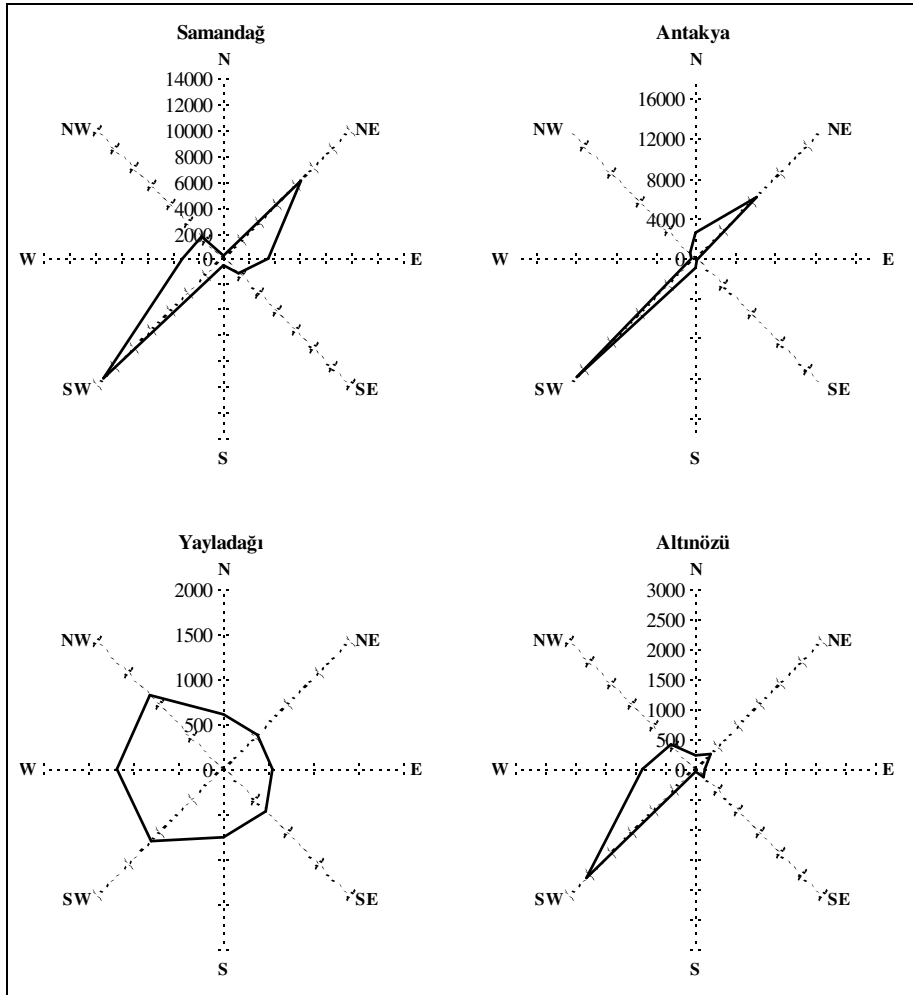
Tablo 3: Kuseyr Platosu ve çevresinde aylık ve yıllık ortalama rüzgar esme sayıları.

İst. Adı	Yön	O	Ş	Ma	N	M	H	T	Ağ	E	Ek	K	A	Yıl.
YAYLADAĞI	N	41	38	44	58	52	66	79	80	37	31	38	37	601
	NE	54	65	48	53	44	37	31	23	25	40	46	63	529
	E	69	78	65	49	29	15	13	10	13	70	62	76	549
	SE	83	69	75	48	41	42	33	34	33	61	76	69	664
	S	66	62	65	49	68	72	58	64	37	51	93	66	751
	SW	72	64	97	95	110	120	115	126	96	90	87	70	1142
	W	85	93	99	96	111	114	149	168	83	71	55	56	1180
NW	69	81	93	116	113	114	133	119	115	84	61	53	1151	
ALTINÖZÜ	N	35	33	20	14	18	15	13	2	4	16	25	40	235
	NE	68	63	67	46	25	6	6	-	-	14	21	38	354
	E	46	19	22	7	7	1	-	-	-	9	9	28	148
	SE	45	24	55	14	6	3	-	-	-	5	20	37	209
	S	6	3	2	-	4	6	-	1	15	1	-	2	40
	SW	79	77	189	204	232	365	428	475	288	127	54	51	2569
	W	75	93	40	78	103	46	42	35	102	127	92	52	885
NW	48	46	32	21	47	65	47	24	26	53	92	81	582	
SAMANDAĞ	N	28	40	26	28	12	7	1	6	7	17	28	33	233
	NE	1733	1138	858	560	220	34	8	7	125	725	1467	1684	8558
	E	507	437	390	260	162	38	10	14	113	437	531	582	3481
	SE	206	200	211	146	123	48	28	17	107	263	201	161	1711
	S	21	16	37	54	47	30	44	57	75	76	26	22	505
	SW	294	448	823	1141	1523	1769	2356	2387	1855	829	291	205	13299
	W	62	109	239	293	395	551	488	359	356	234	70	50	3206
NW	68	128	252	229	314	346	210	162	245	232	88	54	2328	
ANTAKYA	N	419	334	273	191	105	17	5	6	64	302	422	478	2615
	NE	1644	1218	893	615	294	38	9	10	165	755	1336	1683	8611
	E	40	38	37	24	17	6	3	2	12	30	43	44	294
	SE	15	14	21	13	25	8	2	3	15	21	25	22	180
	S	36	49	85	109	126	104	76	116	124	107	37	20	989
	SW	303	536	1085	1492	2008	2385	2581	2294	2122	1175	428	235	16840
	W	35	49	60	40	25	15	9	2	26	48	39	34	383
NW	71	81	103	73	61	59	40	4	28	69	101	77	763	

Kaynak: Devlet Meteoroloji İşleri Genel Müdürlüğü, 2008.

Altınözü'nde SW yönlü rüzgârların hâkim olmasında yeryüzü şekillerinin uzanırları etkilidir. Platonun batısında güneybatı-kuzeydođu doğrultulu Samandağ-Antakya graben alanına Akdeniz'den gelerek kanalize olan hava akımı, platonun batısındaki Ziyaret Dađı ile Habibineccar Dađı arasındaki beli aşarak platonun kuzeydođusundaki Altınözü'ne ulaşmakta ve buna bađlı olarak ta burada SW yönlü rüzgârlar hâkim olmaktadır. Platonun batısındaki graben alanında yer alan Samandağ ve Antakya'da da yukarıda belirtilen gerekçeden dolayı yıl içinde SW yönlü rüzgârlar hâkimdir (Şekil 4).

Şekil 4: Kuseyr Platosu ve çevresinin yıllık hâkim rüzgâr gülü.



Mevsimsel basınç ve sıcaklık değişimi, mevsimsel hâkim rüzgâr yönlerinde belirgin değişimlere yol açar. Platoda kışın W, İlkbaharda Yayladağı'nda NW. Altınözü'nde SW yönlü rüzgârlar hâkim olur. Yazın Altınözü'nde bahara göre değişim yaşanmazken Yayladağı'nda hâkim rüzgâr yönü W şeklinde değişir. Sonbaharda plato alanında SW yönlü rüzgârlar hâkim olur. Platonun batısındaki graben alanında ise kışın NE, ilkbahar yaz ve sonbaharda SW, yönlü rüzgârlar hâkimdir (Tablo. 4). Bu durum denize göre konum ve graben alanının doğrultusuyla doğrudan ilişkilidir.

Tablo 4: *Kuseyr Platosu ve çevresinde mevsimlere göre hâkim rüzgâr yönleri ve esme sayıları ile frekansları.*

İst. Adı	Kış		İlkbahar		Yaz		Sonbahar		Yıllık	
	Hâkim Rüzgâr Yönü	Esm. S ve frek. (%)	Hâkim Rüzgâr Yönü	Esm. S ve frek. (%)	Hâkim Rüzgâr Yönü	Esm. S ve frek. (%)	Hâkim Rüzgâr Yönü	Esm. S ve frek. (%)	Hâkim Rüzgâr Yönü	Esm. S ve frek. (%)
Yayladağı	W	215 (%15)	NW	285 (%18)	W	1604 (%23)	SW	1267 (%18)	W	1180 (%18)
Altınözü	W	220 (%19)	SW	625 (%50)	SW	1579 (%58)	SW	1101 (%43)	SW	5022 (%51)
Samandağ	NE	5502 (%50)	SW	3487 (%42)	SW	6512 (%71)	SW	2975 (%33)	SW	13299 (%40)
Antakya	NE	4545 (%64)	SW	4585 (%61)	SW	7260 (%95)	SW	3725 (%44)	SW	16840 (%62)

Kaynak: Devlet Meteoroloji İşleri Genel Müdürlüğü, 2008.

Platoda yıllık ortalama rüzgâr hızı 1,2 (Yayladağı)-1,3 (Altınözü) bofor arasında değişmektedir. Ortalama rüzgar hızının en fazla olduğu ay temmuz ve ağustos (2 bofor), en az olduğu ay ise kasım ve aralık (0,8 bofor)'dır. Plato çevresinde ise rüzgâr, yılda ortalama 4,2 (Samandağ)-3,7 m/sn (Antakya) hızla esmektedir. Burada aylık ortalama rüzgar hızının en fazla olduğu ay Samandağ'da ağustos (5,1 m/sn), Antakya'da temmuz (6,1 m/sn), en az olduğu ay ise Samandağ'da ekim (3,1 m/sn), Antakya'da kasımdır (2,2 m/sn). Plato ve çevresinde ortalama rüzgâr hızlarının yaz aylarında yüksek, sonbahar aylarında ise düşük olduğu dikkati çeker. Yazın rüzgâr hızının

fazla olması denizel ve karasal ortam arasındaki basınç gradyanının fazlalığından kaynaklanır. Sonbahar, bölgeyi etkileyen hava kütlelerinin geçiş dönemine denk geldiğinden daha durağan hava durumları ortaya çıkar. Bundan dolayı sonbaharda rüzgâr hızları düşer. Platoda ortalama fırtınalı gün sayısına yönelik rasat verisi bulunmamaktadır. Ancak yıl içinde ortalama kuvvetli rüzgârların estiği günler bulunur. En fazla ortalama kuvvetli rüzgârlı gün, Altınözü'nde (13,3) görülür. Yayladağı'nda ise yıllık ortalama kuvvetli rüzgârlı gün sayısı 10,7'dir. Plato çevresinde ise ortalama kuvvetli rüzgârlı gün sayısının oldukça fazla olduğu görülür. Yıllık ortalama kuvvetli rüzgârlı gün sayısı Samandağ'da 138,9, Antakya'da 129'dur. Bunda plato çevresinde rüzgârların graben alanına kanalize olarak hızlarını artırması etkili olmaktadır.

Nem ve Yağış

Kuseyr Platosu'nda mevsimlik basınç şartları ve hava kütleleri, denize göre olan konum, relief durumu gibi etkenler nem ve yağışlar üzerinde oldukça etkilidir. Plato sahasında yıllık ortalama nispi nem %60 civarındadır (Yayladağı'nda %59, Altınözü'nde %62). Nispi nem kış mevsiminde yüksek (Yayladağı %64, Altınözü %74) iken yaz mevsiminde (Yayladağı %56, Altınözü %55) cT hava kütlelerinin etkili olması nedeniyle azalmaktadır (Tablo 5). Platoda nispi nemin aylık dağılışı incelendiğinde en yüksek değerlere Yayladağı'nda aralık, ocak ve şubat (%64), Altınözü'nde aralık (%78); en düşük değerlere ise Yayladağı'nda haziran (%55), Altınözü'nde eylül (%53) ayında ulaşılır. Yayladağı'nda nispi nem, yıl içinde dalgalanmalar gösterir (Şekil 5). Bu durum denizel hava kütlelerinin zaman zaman atmosferik aktiviteye bağlı olarak Yayladağı'na ulaşmasından kaynaklanmaktadır.

Tablo 5: Kuseyr Platosu ve çevresinde ortalama nispi nem (%).

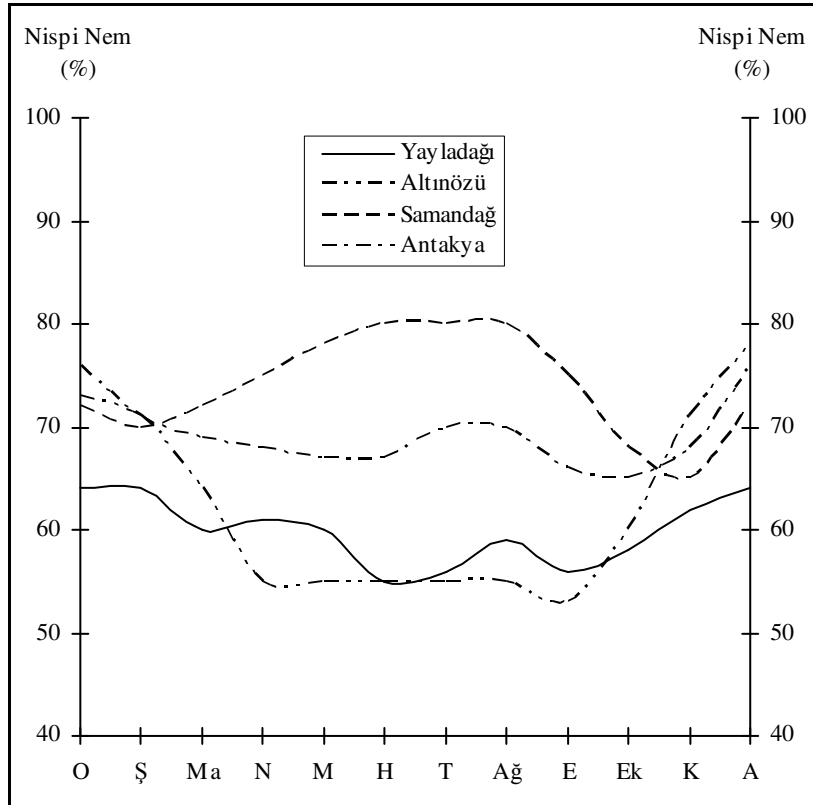
İst. Adı	O	Ş	Ma	N	M	H	T	Ağ	E	Ek	K	A	Y.Or.
Yayladağı	64	64	60	61	60	55	56	59	56	58	62	64	59
Altınözü	73	71	64	55	55	55	55	55	53	60	71	78	62
Samandağ	72	70	72	75	78	80	80	80	75	68	65	72	73
Antakya	76	71	69	68	67	67	70	70	66	65	68	76	69

Kaynak: Devlet Meteoroloji İşleri Genel Müdürlüğü, 2008.

Platonun batısındaki graben alanı bütün yıl denizel hava kütlelerine açık olduğu için burada nispi nem, platodan yüksektir. Yıllık ortalama nispi

nem Samandağ'da %73, Antakya'da %69'dur. Deniz kıyısındaki Samandağ'da yaz mevsiminin ortalama nispi nemi (%80), kış mevsiminden (%71) yüksektir (Tablo 5). Bunda yaz aylarındaki sıcaklık artışına bağlı olarak denizdeki buharlaşmanın ve havanın nem taşıma kapasitesinin artması etkili olmaktadır. Antakya'da ise tam tersi bir durum söz konusudur (Kış %74, yaz %69). Aylık ortalama nispi nem en fazla Samandağ'ında haziran, temmuz, ağustos (%80), Antakya'da aralık, ocak (%76), en az ise Samandağ'da kasım (%65), Antakya'da ekim (%65) aylarında gerçekleşmiştir (Şekil.5). Antakya'da yaz aylarında nispi nemde artış dikkat çekmektedir. Bunda yazın hakim olan SW yönlü rüzgarların, denizel havayı Samandağ-Antakya grabeni boyunca buraya taşıması etkili olmaktadır.

Şekil 5: Kuseyr Platosu ve çevresinde ortalama nispi nemin aylara dağılışı.



Plato ve çevresinin bulutluluk özellikleri incelendiğinde, Yayladağı'nda yıllık ortalama bulutluluk 4,1, Altınözü'nde 2,4, Samandağ'da 3,9, Antakya'da ise 3,6 olduğu görülür. (Tablo 6). Bu değerler Yayladağı'nda yıllık ortalama bulutluluğun diğer merkezlerden fazla olduğunu göstermektedir. Bunda denizellik-karasallık, yükselti ve yeryüzü şekilleri etkili olmalıdır. Akdeniz üzerinden gelen nemli hava kütleleri Keldağ'ı aşarken soğuyarak bulut oluşumuna neden olur. Bu durum yakınındaki Yayladağı'nı da etkiler. Plato ve çevresinde bulutluluğun kış aylarında yüksek; yaz aylarında ise düşük olduğu görülür. Kışın bölgede frontal faaliyetlerin artması bulutluluğun da artmasına neden olmaktadır.

Kuseyr Platosu ve çevresinin yağış özellikleri, daha çok dinamik-jenetik faktörlerin kontrolü altındadır. Yükselti, orografik özellikler, hava kütlelerinin karakteristiği ile denizellik gibi faktörler plato genelinde yağış dağılımında farklılıklara yol açar. Bu nedenle platonun batısına doğusundan daha fazla yağış düşer. Plato alanında etkili olan tropikal hava kütleleri, Akdeniz üzerinden geçerken bünyesine nem alır. Nemli hava platonun batısında güneybatı-kuzeydoğu uzanışlı graben nedeniyle kuzeye doğru sokulur. Bu hava kütlesi platonun batısında birden bire artan yükselti basamağını aşarken orografik yağışların oluşmasına neden olur. Bu nedenle yükseldikçe yağış değerleri de artar. Platonun doğusunda ise Suriye çöllerinden gelen kontinental Tropikal hava kütleleri etkili olur. Bu hava kütlelerinin sıcak ve kuru olmasının yanında yükseltinin platonun doğusunda düşük olması yağış oluşumunu güçleştirir. Bu nedenle platonun doğusu daha az yağış alır.

Tablo 6: *Kuseyr Platosu ve çevresinde ortalama bulutluluk.*

İst. Adı	O	Ş	Ma	N	M	H	T	Ağ	E	Ek	K	A	Yıl.Ort.
Yayladağı	6,5	6,1	5,9	5,6	3,8	2,0	1,6	2,2	1,9	3,6	4,1	6,1	4,1
Altınözü	4,4	4,6	3,7	2,1	2,0	0,5	0,2	0,1	0,5	2,1	3,2	5,9	2,4
Samandağ	5,0	4,8	4,7	4,3	3,7	2,8	3,2	3,3	3,0	3,1	3,7	4,8	3,9
Antakya	6,0	5,4	4,8	4,6	3,2	1,5	1,3	1,3	1,7	3,0	4,2	5,8	3,6

Kaynak: *Devlet Meteoroloji İşleri Genel Müdürlüğü, 2008*

Platoda yıllık ortalama toplam yağış 776,9 mm (Yayladağı) ile 797,4 mm (Altınözü) arasındadır. Bununla birlikte, yükseltinin arttığı bölümlerde yağış da artar. Platonun batısındaki graben alanının yağış değerleri daha yüksektir. Bu nedenle yıllık ortalama toplam yağış miktarı Samandağ'da 910,9 mm, Antakya'da ise 1.120,3 mm olarak gerçekleşir (Tablo 7).

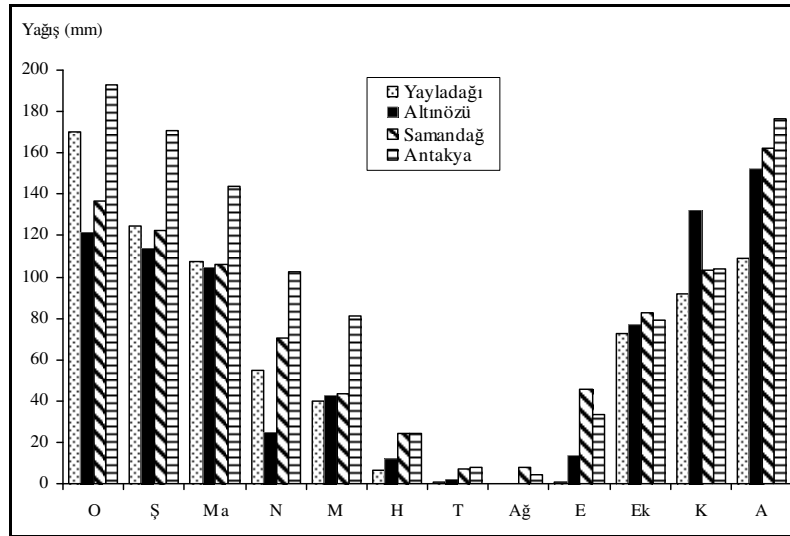
Tablo 7: Kuseyr Platosu ve çevresinde ortalama toplam yağış miktarı (mm).

İst. Adı	O	Ş	M	N	M	H	T	A	E	E	K	A	Yıl.Ort.
Yayladağı	169,8	124,3	107,5	54,6	39,7	6,2	0,6	0,1	0,4	72,8	91,8	109,1	776,9
Altınözü	122,0	114,0	104,5	24,9	42,4	12,4	1,8	0,0	13,3	77,2	132,5	152,4	797,4
Samandağ	136,3	122,6	105,9	70,3	43,2	24,2	7,1	7,5	45,6	82,5	103,2	162,55	910,9
Antakya	193,2	170,9	144,0	102,4	81,2	24,2	7,8	4,4	33,1	78,8	103,9	176,4	1120,3

Kaynak: Devlet Meteoroloji İşleri Genel Müdürlüğü, 2008

Plato ve çevresinde yağışın aylara dağılışı incelendiğinde, en az yağış temmuz ve ağustos aylarında yağar. Bu aylardan sonra yağışlarda artış başlar. Bu artış aralık ve ocak aylarına kadar devam eder. Bu nedenle en fazla yağış Yayladağı (169,8 mm) ve Antakya (193,2 mm)'da ocak, Altınözü (152,4 mm) ve Samandağ (162,5 mm)'da aralık, en az ise Yayladağı (0,1 mm), Altınözü (0 mm) ve Antakya (4,4 mm)'da ağustos, Samandağ (7,1)'da ise temmuzda yağar (Şekil 6).

Şekil 6: Kuseyr Platosu ve çevresinde ortalama toplam yağışın aylara dağılışı.



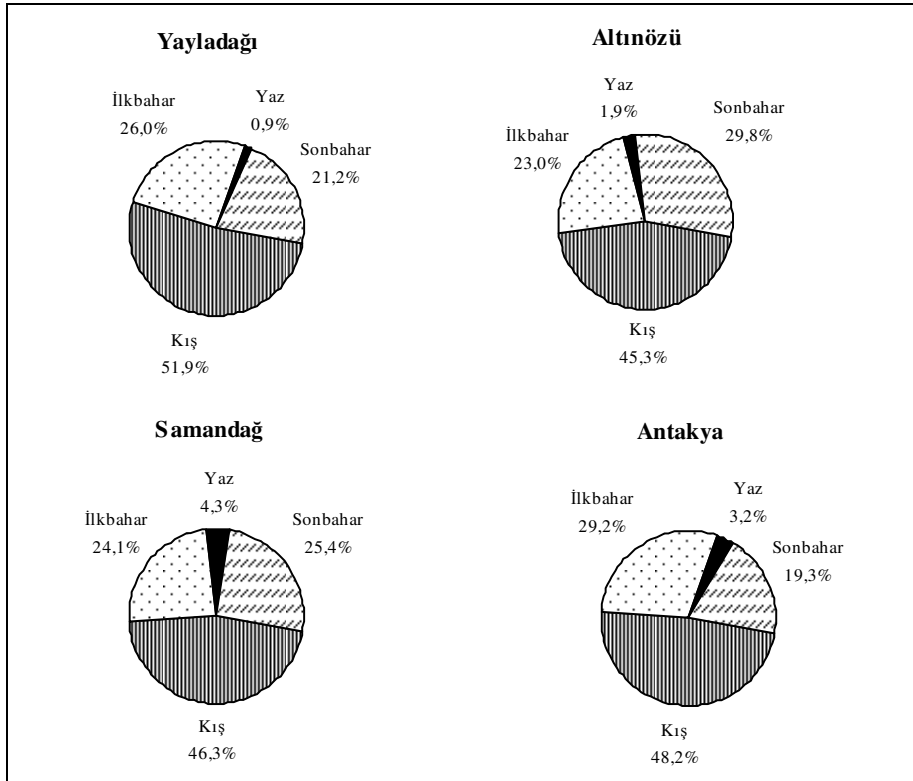
Yağışın mevsimlere dağılışında da büyük farklılıklar görülür (Tablo 8). Plato ve çevresinde en yağışlı mevsim kışıdır. Yayladağı'nda yağışın %51,9'u, Altınözü'nde %45,3'ü, Samandağ'da %46,3'ü, Antakya'da ise %48,2'si kışın yağar (Şekil 7). Kış mevsimini Antakya, Yayladağı ve Altınözü'nde ilkbahar ve sonbahar mevsimleri takip eder. Samandağ'da ise bu sıralama sonbahar

ve ilkbahar şeklinde gerçekleşir. Yağışın en az olduğu mevsim ise yazdır. (Tablo 8 ve şekil 7). Yayladağı'nda yağışların %0,9'u, Altınözü'nde %1,9'u, Samandağ'da %4,3'ü, Antakya'da ise %3,2'si yazın düşer. Yaz mevsiminde yağışın az olmasında bölgedeki Basra Alçak Basıncının hâkimiyeti etkilidir. (Kuşçu ve Yiğit, 2002: 306).

Tablo 8: Kuseyr Platosu ve çevresinde ortalama toplam yağışın mevsimlere dağılışı (%).

İst. Adı	Kış	(%)	İlkbahar	(%)	Yaz	(%)	Sonbahar	(%)
Yayladağı	403,2	51,9	201,8	26,0	6,9	0,9	165	21,2
Altınözü	388,4	45,3	171,8	23,0	14,2	1,9	223	29,8
Samandağ	421,4	46,3	219,4	24,1	38,8	4,3	231,3	25,4
Antakya	540,5	48,2	327,6	29,2	36,4	3,2	215,8	19,3

Şekil 7: Kuseyr Platosu ve çevresinde ortalama toplam yağışın mevsimlere dağılışı diyagramı (%).



Plato ve çevresinde yağışlar, genelde yağmur şeklinde gerçekleşir. Ancak kış aylarında Keldağ, Ziyaret Dağı gibi yüksek alanlarda yağışların kar şeklinde olduğu görülür. Platoda yıllık ortalama kar yağışlı günler sayısı 1,5 (Yayladağı) ile 2,7 (Altınözü) gibi küçük değerlere sahip iken benzer durum plato çevresinde de (Samandağ 0,5, Antakya 1,4) geçerlidir. Bütün bunlar, plato ve çevresinde kışlar nemli ve yağışlı yazlar kurak ve sıcak, ilkbahar ve sonbahar ise kararsız olmakla birlikte sonbaharın kış rejimine yaklaştığı Akdeniz yağış rejiminin etkili olduğunu gösterir.

Yağış Etkinliği ve İklim Tipi

Yağışların sıcaklık ve buharlaşma ile olan ilişkilerini yansıtan yağış etkinliğinin bilinmesi, tarımsal planlamaların yapılabilmesi ve su kaynaklarının verimli bir şekilde kullanılabilmesi açısından önemlidir. Bu amaçla plato ve çevresinin yağış etkinliği ve iklim tipi, De Martonne, Erinç ve Thornthwaite yöntemlerine göre belirlenmiştir.

De Martonne ve Gottmann'ın 1942' de ortaya koydukları yıllık kuraklık indisine göre (Dönmez, 1984: 249-251) Altınözü (14,9), Yayladağı (15,5) ve Samandağ (16,9) "Yarı kurak sahalarda nemli bölgeler arasındaki iklim tipine", Antakya (20,6) ise "Nemli iklim tipine" sahiptir. De Martonne (1923) aylık indis değerlerine göre Yayladağı, Samandağ ve Antakya'da ekim-nisan, Altınözü'nde ekim-mart arası nemli, Yayladağı ve Altınözü'nde haziran-eylül, Antakya ve Samandağ'da ise temmuz-ağustos arası kurak devreyi oluşturur. Bunların dışında Yayladağı'nda mayıs, Altınözü'nde nisan ve mayıs, Samandağ'da mayıs ve eylül, Antakya'da ise eylül ayları yarı nemli, Samandağ ve Antakya'da haziran ayları yarı kurak özellik gösterir (Tablo 9).

Tablo 9: Kuseyr Platosu ve çevresinin De Martonne yöntemine göre aylık ve yıllık kuraklık indis değerleri ve kategorileri.

İst. adı	O	Ş	Ma	N	M	H	T	Ağ	E	E	K	A	Yıl.Ort.
Yayladağı	122,0 N	85,7 N	66,5 N	28,2 N	17,2 YN	2,4 K	0,2 K	0,0 K	0,2 K	32,2 N	52,0 N	74,8 N	15,5 YN
Altınözü	92,7 N	81,9 N	59,7 N	11,4 YN	16,8 YN	4,4 K	0,6 K	0,0 K	4,6 K	31,5 N	72,9 N	105,1 N	14,9 YN
Samandağ	83,9 N	70,4 N	52,5 N	30,6 N	16,8 YN	8,4 YK	2,3 K	2,4 K	15,2 YN	31,3 N	47,8 N	92,4 N	16,9 YN
Antakya	128,1 N	103,6 N	75,5 N	45,3 N	31,3 N	8,4 YK	2,5 K	1,4 K	11,2 YN	30,9 N	51,7 N	108,0 N	20,6 N

(N:Nemli, YN: Yarı nemli, YK: Yarı kurak, K:Kurak)

Erinç (1965) yıllık yağış etkinliği indisine göre plato sahasında (Yayladağı 33,6 ve Altınözü 33,9) "Yarı nemli iklim", plato çevresinde ise (Samandağ 40 ve Antakya 48,7) "Nemli iklim" görülür. Erinç aylık yağış etkinliği indislerine göre

plato ve çevresinde kasım-mart çok nemli, Yayladağı ve Samandağ'da nisan-eylül, Altınözü'nde eylül, Antakya'da ise mayıs ve eylül, yarı nemli ayları oluşturur. Yarı kurak aylar ise Yayladağı ve Altınözü'nde mayıs, Samandağ'da mayıs ve eylülüdür. Bunların dışında Altınözü'nde nisan, Samandağ'da haziran, Antakya'da haziran ve eylül ayları kurak, Yayladağı ve Altınözü'nde haziran-eylül arası, Samandağ ve Antakya'da ise temmuz ve ağustos ayları tam kurak özellik gösterir (Tablo 10).

Tablo 10: *Kuseyr Platosu ve çevresinin Erinç yöntemine göre aylık ve yıllık kuraklık indis değerleri ve kategorileri.*

İst. Adı	O	Ş	Ma	N	M	H	T	Ağ	E	E	K	A	Yıl. Ort.
Yayladağı	171,2	113,9	80,6	30,8	17,6	2,4	0,2	0,0	0,2	32,4	55,9	96,3	33,7
	ÇN	ÇN	ÇN	YN	YK	TK	TK	TK	TK	YN	ÇN	ÇN	YN
Altınözü	130,7	110,3	71,3	12,2	18,2	4,9	0,7	0,0	4,9	34,2	82,4	147,5	33,9
	ÇN	ÇN	ÇN	K	YK	TK	TK	TK	TK	YN	ÇN	ÇN	YN
Samandağ	125,4	97,4	69,4	38,5	20,9	10,6	2,9	3,0	18,4	36,8	60,1	129,1	40,0
	ÇN	ÇN	ÇN	YN	YK	K	TK	TK	YK	YN	ÇN	ÇN	N
Antakya	194,8	144,4	97,1	54,9	37,0	10,0	3,0	1,7	12,9	34,8	62,0	155,6	48,7
	ÇN	ÇN	ÇN	N	YN	K	TK	TK	K	YN	ÇN	ÇN	N

(ÇN: Çok nemli N: Nemli, YN: Yarı nemli, YK: Yarı kurak, K: Kurak TK: Tam kurak)

Thorntwaite yöntemine göre hazırlanan su bilançosu tablosuna göre (Tablo 11) Yayladağı'nda "Yarı nemli, ikinci dereceden mezotermal, yaz mevsiminde çok kuvvetli su noksanı olan ve denizel şartlara yakın iklim tipi ($C_2 B'_2 s_2 b'_4$)", Altınözü'nde ise "Yarı nemli, üçüncü dereceden mezotermal, yaz mevsiminde çok kuvvetli su noksanı olan ve denizel şartlara yakın iklim tipi ($C_2 B'_3 s_2 b'_4$) görülür. Plato çevresindeki merkezlerden Samandağ'da "Yarı nemli, üçüncü dereceden mezotermal, yaz mevsiminde çok kuvvetli su noksanı olan ve denizel şartlara yakın iklim tipi ($C_2 B'_3 s_2 b'_4$), Antakya'da ise "Birinci dereceden nemli, üçüncü dereceden mezotermal, yaz mevsiminde çok kuvvetli su noksanı olan ve denizel şartlara yakın iklim tipi" ($B_1 B'_3 s_2 b'_4$) etkilidir

Plato sahasındaki merkezlerde ekim ayından itibaren yağış potansiyel evapotranspirasyon (PE)'dan fazla olmaya başlar. Ekim ve kasım ayları boyunca toprakta su birikmeye başlar. Aralık ayından itibaren toprak suya doymuş hale gelir. Bu durum mart ve nisan sonuna kadar devam eder. Sıcaklıkların ve buharlaşmanın artmasıyla nisan-mayıs aylarında birikmiş su sarf edilir ve haziran ayından itibaren su açığı oluşur. Haziran ayında başlayan bu kurak dönem ekim ayına kadar devam eder (Şekil 8). Bu dönem, sululu tarım alanları için sulama yapılması gereken bir devre olarak dikkat çeker.

Kuseyr Platosu'nun İklim Özellikleri

Samandağ ve Antakya'da ise kasım ayından itibaren toprakta su birikmeye başlar. Aralık ayından nisan sonuna kadar olan dönemde toprakta su fazlası vardır. Mayıs'tan itibaren birikmiş su sarf edilmeye başlar. Kurak devreyi oluşturan haziran-ekim arası dönemde su açığı oluşur.

Tablo:11. Kuseyr Platosu ve çevresindeki istasyonlara ait Thornthwaite Su Bilançosu

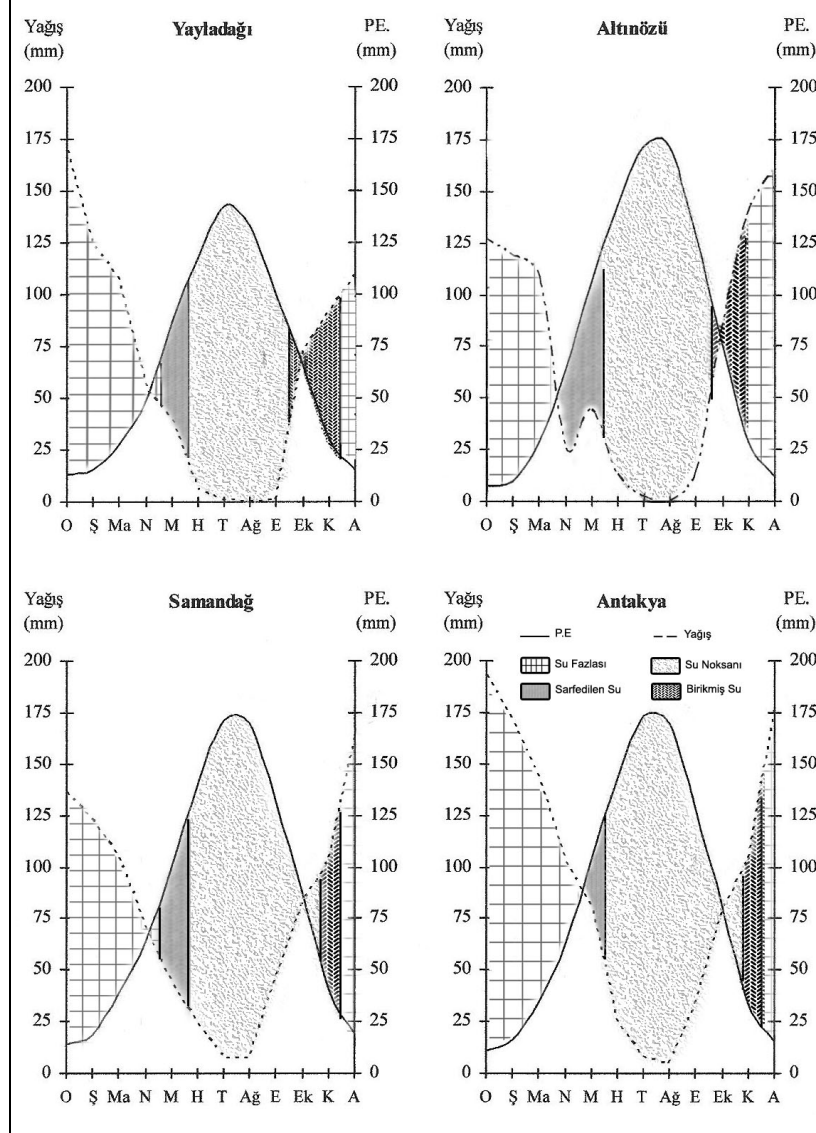
YAYLADAĞI	O	Ş	Ma	N	M	H	T	Ağ	E	Ek	K	A	Yıll.
Sıcaklık	6,7	7,4	9,4	13,2	17,7	21,4	24,0	23,9	21,5	17,5	11,2	7,5	15,1
Sıcaklık İndisi	1,6	1,8	2,6	4,4	6,8	9,0	10,8	10,7	9,1	6,4	3,4	1,9	68,3
Düzeltilmemiş PE.	15,5	18,1	26,4	45,0	71,4	96,3	115,3	114,5	97,0	67,6	34,7	18,5	720,7
Düzeltilmiş PE.	13,4	15,4	27,2	49,5	86,4	117,3	142,8	132,9	99,9	65,6	29,9	15,5	796,3
Yağış	169,8	124,3	107,5	54,6	39,7	6,2	0,6	0,1	0,4	72,8	91,8	109,1	776,9
Birik. Suy. Ay. Değ.	0,0	0,0	0,0	0,0	-46,7	-53,2	0,0	0,0	0,0	7,1	61,8	30,9	
Birikmiş Su	100,0	100,0	100,0	100,0	53,2	0,0	0,0	0,0	0,0	7,1	69,0	100,0	
Gerçek Evpotr.	13,4	15,4	27,1	49,5	86,4	59,4	0,6	0,1	0,4	65,6	29,9	15,5	363,7
Su Noksamı	0,0	0,0	0,0	0,0	0,0	57,9	142,2	132,8	99,5	0,0	0,0	0,0	432,5
Su Fazlası	156,3	108,8	80,2	5,0	0,0	0,0	0,0	0,0	0,0	0,0	0,0	62,5	413,3
Akış	109,4	132,6	94,5	42,6	2,5	0,0	0,0	0,0	0,0	0,0	0,0	31,2	413,3
Nemlilik Oramı	11,5	7,0	2,9	0,1	-0,5	-0,9	-1,0	-1,0	-1,0	0,1	2,0	6,0	
ALTINÖZÜ	O	Ş	Ma	N	M	H	T	Ağ	E	Ek	K	A	Yıll.
Sıcaklık	5,8	6,7	11,0	16,1	20,2	23,8	26,2	27,3	25,0	19,4	11,8	7,4	16,7
Sıcaklık İndisi	1,3	1,6	3,3	5,9	8,3	10,6	12,3	13,1	11,4	7,8	3,7	1,8	80,9
Düzeltilmemiş PE.	8,8	11,4	27,7	55,0	82,6	110,9	131,8	141,9	121,2	76,9	31,5	13,6	813,7
Düzeltilmiş PE.	7,6	9,6	28,6	60,5	100,1	135,5	163,6	164,8	124,8	74,5	27,1	11,4	908,5
Yağış	122,0	114,0	104,5	24,9	42,4	12,4	1,8	0,0	13,3	77,2	132,5	152,4	797,4
Birik. Suy. Ay. Değ.	0,0	0,0	0,0	-35,6	-57,7	-6,6	0,0	0,0	0,0	2,6	97,3	0,0	
Birikmiş Su	100,0	100,0	100,0	64,3	6,6	0,0	0,0	0,0	0,0	2,6	100,0	100,0	
Gerçek Evpotr.	7,6	9,6	28,6	60,5	100,1	19,1	1,8	0,0	13,3	74,5	27,1	11,4	353,7
Su Noksamı	0,0	0,0	0,0	0,0	0,0	116,4	161,8	164,8	11,5	0,0	0,0	0,0	554,7
Su Fazlası	114,3	104,3	75,9	0,0	0,0	0,0	0,0	0,0	0,0	0,0	8,1	140,9	443,6
Akış	127,6	109,3	90,1	37,9	0,0	0,0	0,0	0,0	0,0	0,0	4,1	74,5	443,6
Nemlilik Oramı	14,9	10,7	2,6	-0,5	-0,5	-0,9	-0,9	-1,0	-0,8	0,0	3,9	12,3	

Hüseyin Korkmaz, Gökhan Fakı

SAMANDAĞ	O	Ş	M	N	M	H	T	A	E	Ek	K	A	Yıll.
Sıcaklık	9,5	10,9	14,2	17,6	20,9	24,5	26,8	27,6	25,9	21,6	15,9	11,1	18,9
Sıcaklık İndisi	2,6	3,25	4,9	6,7	8,7	11,1	12,7	13,3	12,1	9,2	5,8	3,3	93,6
Düzeltilmemiş PE.	16,4	21,8	37,5	58,3	82,9	114,7	137,9	146,5	128,6	88,6	47,3	22,6	903,6
Düzeltilmiş PE.	14,3	18,5	38,6	64,1	100,3	140,1	171,1	170,0	132,4	86,0	40,6	19,0	995,5
Yağış	136,3	122,6	105,9	70,3	43,2	24,2	7,1	7,5	45,6	82,5	103,2	162,5	910,9
Birik. Suy. Ay. Değ.	0,0	0,0	0,0	0,0	-57,1	-42,8	0,0	0,0	0,0	0,0	62,5	37,4	
Birikmiş Su	100,0	100,0	100,0	100,0	42,8	0,0	0,0	0,0	0,0	0,0	62,5	100,0	
Gerçek Evpotr.	14,3	18,5	38,6	64,1	100,3	67,0	7,1	7,5	45,6	82,5	40,6	19,0	505,5
Su Noksanı	0,0	0,0	0,0	0,0	0,0	73,0	164,0	162,5	86,8	3,5	0,0	0,0	490,0
Su Fazlası	121,9	104,0	67,2	6,1	0,0	0,0	0,0	0,0	0,0	0,0	0,0	105,9	405,3
Akış	113,9	113,0	85,6	36,9	3,0	0,0	0,0	0,0	0,0	0,0	0,0	52,9	405,3
Nemlilik Oranı	8,5	5,6	1,7	0,1	-0,5	-0,8	-0,9	-0,9	-0,6	-0,4	1,5	7,5	

ANTAKYA	O	Ş	M	N	M	H	T	A	E	Ek	K	A	Yıll.
Sıcaklık	8,1	9,8	12,9	17,1	21,1	24,7	27,0	27,6	25,5	20,6	14,1	9,6	18,2
Sıcaklık İndisi	2,1	2,8	4,2	6,4	8,9	11,2	12,9	13,3	11,8	8,5	4,8	2,7	89,5
Düzeltilmemiş PE.	13,1	19,1	32,7	57,0	86,1	117,3	139,7	145,8	124,8	82,1	39,0	18,3	875,5
Düzeltilmiş PE.	11,4	16,2	33,7	62,7	104,3	143,3	173,5	169,5	128,6	79,7	33,5	15,3	972,1
Yağış	193,2	170,9	144,0	102,4	81,2	24,2	7,8	4,4	33,1	78,8	103,9	176,4	1120,3
Birik. Suy. Ay. Değ.	0,0	0,0	0,0	0,0	-23,1	-76,8	0,0	0,0	0,0	0,0	70,4	29,6	
Birikmiş Su	100,0	100,0	100,0	100,0	76,8	0,0	0,0	0,0	0,0	0,0	70,4	100,0	
Gerçek Evpotr.	11,4	16,2	33,7	62,7	104,3	101,0	7,8	4,4	33,1	78,8	33,5	15,3	502,5
Su Noksanı	0,0	0,0	0,0	0,0	0,0	42,3	165,7	165,1	95,5	0,9	0,0	0,0	469,6
Su Fazlası	181,7	154,6	110,2	39,6	0,0	0,0	0,0	0,0	0,0	0,0	0,0	131,4	617,7
Akış	156,5	168,2	132,4	74,9	19,8	0,0	0,0	0,0	0,0	0,0	0,0	65,7	617,7
Nemlilik Oranı	15,9	9,5	3,2	0,6	-0,2	-0,8	-0,9	-0,9	-0,7	0,0	2,1	10,5	

Şekil 8: Kuseyr Platosu ve çevresindeki istasyonlara ait su bilançosu diyagramları.



SONUÇ

Kuseyr Platosunun iklim özellikleri büyük ölçüde planetar ve fiziki coğrafya faktörlerinin kontrolündedir. Plato sahasının sıcaklık şartları Akdeniz Termik Rejiminin özelliklerini gösterir. Yıllık sıcaklık farkı az olup karasallık derecesi düşüktür. Karasallık etkisi güneyden kuzeye doğru gidildikçe artar. Yıllık ortalama sıcaklıklar 15,1-16,7 oC arasında değişir. Ortalama sıcaklıklar yaz aylarında en yüksek, kış aylarında ise en düşük değerlere sahiptir. Hiçbir ayın sıcaklık ortalaması 0 oC'nin altına düşmez. Platoda don olaylı gün sayısı azdır.

Platonun yağış özellikleri Akdeniz Yağış Rejimini yansıtır. Yıllık ortalama toplam yağış miktarı 776,9-797,4 mm arasında değişir. Yağış en fazla kış mevsiminde, en az ise yaz mevsiminde gerçekleşir. Yağışın en az olduğu yaz mevsimi çok kurak olup platoda bu mevsimde şiddetli su eksikliği yaşanır.

Plato, De Martonne'nin yıllık kuraklık indisine göre "Yarı kurak sahalarla nemli bölgeler arasındaki iklim tipi", Erinç'in yağış etkinliği indisine göre "Yarı nemli iklimler", Thornthwaite göre ise "yarı nemli, ikinci-üçüncü dereceden mezotermal, yaz mevsiminde çok kuvvetli su noksanı olan ve denizel şartlara yakın iklim tipi" grubunda yer alır.

Sonuç olarak sıcaklık ve yağış başta olmak üzere diğer iklim elemanlarıyla birlikte değerlendirildiğinde, saha makro ölçekte Akdeniz iklim tipi etki alanında yer almaktadır. Bununla birlikte plato sahasında, denizden uzaklaşma ve yükseltinin artmasına bağlı olarak sıcaklık ve yağış başta olmak üzere iklim özelliklerinde kıyı sahasına göre farklanmalar dikkati çekmektedir.

KAYNAKÇA

Alagöz, C., (1944). "Coğrafya Gözüyle Hatay". *Ankara Üniversitesi, DTCF. Der.*, C.II, 2, .203-216.

Atalay, İ. (1997). *Türkiye Coğrafyası*, (5. Baskı). İzmir: Ege Üniversitesi Basımevi.

Ateş, Ş.; Keçer, M.; Osmañcelebiođlu, R.; Kahraman, S. (2004). *Antakya (Hatay) İl Merkezi ve Çevresinin Yerbilim Verileri*, Ankara: MTA. Enst., Jeoloji Etütleri Dairesi, Derleme Raporu, No: 10717.

Canbolat, A. (2006). *Hatay Türkmen Aşiretleri ve Bu Aşiretlerin İskânı (18. ve 19. yüzyıllar)*. Yayımlanmamış Yüksek Lisans Tezi, Kahramanmaraş: Sütçü İmam Üniversitesi Sosyal Bilimler Enstitüsü.

Devlet Meteoroloji İşleri Genel Müdürlüğü, (2008). *Meteorolojik Verileri*. Ankara.

Dönmez, Y. (1984). *Umumi Klimatoloji ve İklim Çalışmaları*. İstanbul: İstanbul Üniversitesi Yayın. No:2506. Coğrafya Enst. Yayın No: 102.

Eriñç, S. (1965). *Yağış Müessiriyeti Üzerine Bir Deneme ve Yeni Bir İndis*. İstanbul Üniversitesi, Coğrafya Enstitüsü, 41.

Erol, O. (1963). *Asi Nehri Deltasının Jeomorfolojisi ve 4. Zaman Deniz-Akarsu Sekileri*. Ankara: Ankara Üniversitesi Dil ve Tarih-Coğrafya Fakültesi Yayınları Sayı:148.

Günel, N. (1995). "Gediz Havzası'nın İklimi". *Türk Coğrafya Dergisi* 30, 67-96

Koçman, A. (1993). *Türkiye İklimi*. İzmir: Ege Üniversitesi, Edebiyat Fakültesi, 72.

Korkmaz, H. (2006). Antakya'da Zemin Özellikleri ve Deprem Etkisi Arasındaki İlişki. *Ankara Üniversitesi, Türkiye Coğrafya Araştırma ve Uygulama Merkezi, Coğrafi Bilimler Dergisi*, Cilt: IV, 2, 47-64.

Hüseyin Korkmaz, Gökhan Fakı

Kuşçu, V. ve Yiğit, A. (2002). “İskenderun Körfezi İle Şanlıurfa Platosu Arasında İklimde Görülen Değişmeler”. *Su Havzalarında Toprak ve Su Kaynaklarının Korunması, Geliştirilmesi ve Yönetimi Sempozyumu Bildiri Kitabı* 18-20 Eylül 2002, Hatay.

Ödemiş, B. ve Bozkurt, S. (2007) “Amik Ovası Yeraltı ve Yerüstü Su Kaynaklarının Sürdürülebilirliği”, *7. Ulusal Çevre Mühendisliği Kongresi Yaşam Çevre Teknoloji* 24-27 Ekim 2007, İzmir.

Tekin, M. (1997). “18. ve 19. Yüzyıllarda Antakya'nın İdari Bölünüşü ve Yer Adları”, *Güneyde Kültür*, 9 (97), 1-17.

Türkmen, F. (1937). *Mufassal Hatay Coğrafyası ve Edebiyatı, Cilt.I.* İstanbul: Cumhuriyet Matbaası.

Yurt Ansiklopedisi (1982). Cilt: 5, İstanbul: Anadolu Yayıncılık.